

Tipo de artículo: Artículo original
Temática: Matemática Computacional
Recibido: 15/08/2016 | Aceptado: 02/11/2016

Biblioteca de algoritmos para el particionado 2D y su problema inverso

Library of algorithms for obtaining 2D partitioned and his inverse problem

Yaisel Siverio Santa Teresa ^{1*}, Romanuel Ramón Antunez ², Lidisy Hernández Montero ¹

¹ GEYSED. Universidad de las Ciencias Informáticas, Carretera a San Antonio de los Baños, km2 1/2, Torrens, Boyeros, La Habana, Cuba. CP.: 19370, {ysst, lhernandez}@uci.cu

² FICI. Universidad de las Ciencias Informáticas, Carretera a San Antonio de los Baños, km2 1/2, Torrens, Boyeros, La Habana, Cuba. CP.: 19370, rramon@uci.cu

* Autor para correspondencia: ysst@uci.cu.

Resumen

La presente investigación describe la realización de una biblioteca de algoritmos para obtener particionados 2D, utilizados para modelar componentes en el entorno de un Sistema de Información Geográfica 2D, SIG-2D. Se utiliza como base para el desarrollo de la misma, los algoritmos de Voronoi directo, inverso e inverso generalizado. La biblioteca propuesta permite obtener particionados de figuras en 2D y su problema inverso, destacándose como algoritmo fundamental el inverso generalizado de Voronoi 2D. Para guiar el proceso de desarrollo se hace el uso de la metodología *Agile Unified Process* y se hizo uso de una mezcla entre las arquitecturas N-Capas y orientada a objetos. Se define para su implementación el uso de tecnologías de escritorio, con el lenguaje de programación C++. Todas las tecnologías empleadas en su desarrollo son libres.

Palabras clave: biblioteca, modelado bidimensional, particionado bidimensional, Voronoi.

Abstract

This research describes the realization of a library of algorithms for 2D partitioned, used to model components in the environment of a 2D GIS, GIS-2D. It is used as a basis for the development of the same, Voronoi algorithms direct, inverse and generalized inverse. The proposed library allows for partitioned figures in 2D and inverse problem, highlighting the fundamental algorithm Voronoi generalized inverse. To guide the development process using Agile

Unified Process methodology is made, using the fusion of N-Layers architectures and object-oriented. It is defined for implementation using desktop technologies with the programming language C ++. All technologies used in its development are free.

Keywords: *dimensional modeling, library, two-dimensional partitioning, Voronoi.*

Introducción

La Geometría Computacional es una rama de las ciencias computacionales que se encarga del diseño y análisis sistemático de algoritmos y estructuras de datos, necesarios para la solución eficiente de problemas que implican como entrada y salida objetos geométricos. Sus orígenes se remontan siglos atrás, el primer algoritmo de Geometría Computacional nace luego de que una serie de pasos correctos no ambiguos y con un final resuelven un problema geométrico; el precursor: Euclides. Es sólo a principios de 1970 que Michael Shamos comienza un estudio sistematizado de problemas, obsesionado con la idea de crear una nueva disciplina de las ciencias de computación, a la cual llamó Geometría Computacional (GC) (Shamos, 1999).

Dentro de la GC el Diagrama de Voronoi (DV) es una de las estructuras más estudiadas, debido al amplio dominio de aplicación que tiene. Esta estructura se define como sigue: Sea $P = \{p_1, p_2, p_3, \dots, p_n\}$ un conjunto de n puntos en el plano denominados sitios, se llama DV al conjunto de regiones o teselas $Vor(p_i)$, una para cada p_i que pertenece P , de forma tal que cualquier punto q que pertenece a $Vor(p_i)$ cumple que $\|q - p_i\| < \|q - p_j\| \forall p_j \in P, j \neq i$. Una definición análoga a la anterior puede ser extendida a 3D, donde el problema gana en complejidad y finalmente se obtiene en vez de un particionado del plano, el particionado de un poliedro¹.

Ejemplos de aplicación inmediata de esta estructura se aprecian en los Sistemas de Información Geográfica (SIG), al ser una de las funcionalidades básicas que deben proveer estos sistemas; principalmente para análisis de proximidad, meteorológicos o de influencias en entornos 2D, véase (de Breg, y otros, 2008). Esta última se ve reflejada, en la cobertura hospitalaria, cercanía de estaciones de bomberos o de trenes, centros comerciales, control del tráfico aéreo o telefonía móvil. No son estas sus únicas aplicaciones ya que el campo de utilidad de esta estructura es más vasto de lo que puede imaginarse, por ejemplo, en palabras de José Ramón Gómez:

¹ Sólidos limitados por superficies planas (RAE, 2014).

“Las aplicaciones en el área de astronomía, mediante la partición basada en el análisis de métodos del modelo de puntos para la investigación de la estructura espacial de varias poblaciones estelares, o en el área médica podemos hallar la reconstrucción tridimensional computarizada y análisis cuantitativo de neuronas y de haces dendríticos en la corteza cerebral.” (Gómez)

Actualmente en los centros GEYSED² y CEMC³, pertenecientes a la Universidad de las Ciencias Informáticas (UCI), están definidos proyectos asociados a SIG y procesamiento de imágenes. En GEYSED es de especial atención la Plataforma de desarrollo SIG-WEB denominada GeneSIG, la cual no cuenta actualmente con soporte para la obtención de DV, lo que dificulta el desarrollo de aplicativos con capacidad para análisis de problemas de proximidad. Mientras en CEMC se trabaja en un proyecto internacional con el CIMNE⁴ para el desarrollo de un SIG-3D con la restricción de no usar ningún componente desarrollado por terceros, y la necesidad de realizar análisis de proximidad e influencias a la vez que se optimiza tiempo de procesamiento y capacidad de almacenamiento.

A partir de la problemática descrita anteriormente se deriva el siguiente **problema de investigación**: ¿Cómo facilitar la obtención de particionados 2D y la resolución de su problema inverso, sin usar componentes de terceros, en aplicaciones SIG de forma que permitan realizar análisis de proximidad y favorezcan la compresión de datos?

El **objetivo general** es desarrollar una biblioteca de algoritmos para la obtención de particionados 2D y su problema inverso.

Materiales y métodos o Metodología computacional

Metodología utilizada

Las metodologías de desarrollo de software constituyen el conjunto de procedimientos, técnicas, herramientas y soporte documental que ayuda a los desarrolladores a realizar un nuevo software. Representan un marco de trabajo que tiene entre sus principales funciones: guiar, planificar, estructurar, controlar, manipular y dirigir el proceso de desarrollo de sistemas de información (Jacobson, y otros, 2000).

² GEYSED, Geoinformática y Señales Digitales.

³ CEMC, Centro de Estudios de Matemática Computacional.

⁴ CIMNE, Centro Internacional de Métodos Numéricos en Ingeniería.

Se define AUP⁵ como la metodología más adecuada para el desarrollo del módulo, esta se basa en la gestión de riesgos, proponiendo que aquellos componentes con alto riesgo tengan más prioridad que los demás y sean desarrollados en etapas tempranas del proyecto. Desarrolla prototipos ejecutables durante la fase de elaboración del producto, demostrando la validez de la arquitectura para los requisitos claves del producto y determinando los riesgos técnicos. En AUP se establecen cuatro fases: Concepción, Elaboración, Construcción y Transición, que transcurren de manera consecutiva y que acaban con hitos claros alcanzados.

1. Concepción: Identificación del alcance y dimensión del proyecto, propuesta de la arquitectura y del presupuesto del cliente.
2. Elaboración: Confirmación de la idoneidad de la arquitectura.
3. Construcción: Desarrollo incremental del sistema, siguiendo las prioridades funcionales de los implicados.
4. Transición: Validación y despliegue del sistema.

Se eligió esta metodología porque permite guiar proyectos de una complejidad y volumen no muy altos y que necesitan una rápida implementación, los cuales son los aspectos fundamentales a tener en cuenta para el desarrollo del producto a obtener.

Herramienta de Modelado

Con el objetivo de realizar una correcta planificación, diseño, implementación y documentación del proceso de desarrollo de la biblioteca se hace uso de herramientas CASE⁶. Estas herramientas son utilizadas con frecuencia para lograr una mejor productividad, eficiencia y eficacia de los productos informáticos, así como la reducción del tiempo de construcción de los mismos y posibles errores que estos puedan poseer.

Visual Paradigm en su versión 8.0, se considera una de las herramientas CASE más adecuada para realizar el proceso de modelado de un software, esta propiedad es básicamente la que constituyó un hecho determinante en su selección para ser utilizada en el modelado de la propuesta de solución. Posee una interfaz fácil de utilizar y es una herramienta UML que soporta todo el ciclo de desarrollo del software: análisis y diseño orientados a objetos, construcción, pruebas y despliegue.

⁵ *Agile Unified Process* (AUP, por sus siglas en inglés, Proceso Unificado Ágil)

⁶ *Computer Aided Software Engineering* (CASE, por sus siglas en inglés, Ingeniería de Software Asistida por Computadora) son diversas aplicaciones informáticas destinadas a aumentar la productividad en el desarrollo de software.

Lenguaje de programación

C++ es un lenguaje de programación derivado del C que soporta la programación orientada a objetos y la estructurada. Fue creado a mediados de los años 80 por Bjarne Stroustrup con el fin de agregar funcionalidades y características de las que carecía su antecesor, mantiene ventajas en cuanto a riqueza de operadores, expresiones, flexibilidad, concisión y eficiencia. Además, ha eliminado algunas de las dificultades y limitaciones del C original. Actualmente es uno de los lenguajes más potentes a nivel mundial, en gran medida esto se debe a que es un lenguaje compilado. Desde el punto de vista de los lenguajes orientados a objetos, C++ es un lenguaje híbrido y existen varios IDE que lo soportan como: Eclipse y Qt Creator (Lenguajes de programación, 2009) (Louden, 2004) (Programación en castellano, 2011).

Debido a las necesidades existentes de seleccionar un lenguaje de programación rápido y eficiente con el cual el equipo de desarrollo se encuentre familiarizado y que brinde las condiciones óptimas para la construcción exitosa del software, se ha llegado a la conclusión de que el lenguaje a utilizar es C++.

Entorno de desarrollo integrado (IDE)

Un entorno integrado de desarrollo (en inglés *Integrated Development Environment*) es un programa informático compuesto por un conjunto de herramientas de programación, que proveen facilidades a los programadores para escribir códigos y agilizar el proceso de desarrollo de software. Pueden ser aplicaciones por sí solas o ser parte de aplicaciones existentes, además permiten ser utilizadas tanto con un único lenguaje de programación como con varios de estos. Las herramientas que normalmente componen un entorno de desarrollo integrado son las siguientes: editor de texto, compilador, intérprete, herramientas para la automatización, depurador, diseñador para la construcción de interfaces gráficas de usuario y, opcionalmente, un sistema de control de versiones (Rodríguez, 2011; IDE, 2012; Alvarez, 2010).

Resultados y discusión

La biblioteca contará con una representación de las principales soluciones propuestas por diversos autores referentes a los problemas de particionado del plano 2D. Principalmente centrándose en los problemas inversos e inversos generalizados. A continuación, se hace una breve descripción de dos de los algoritmos que formaran parte de la biblioteca.

Problema inverso generalizado de Voronoi (Almaguer, y otros, 2007).

La idea seguida por el algoritmo consiste en poner pares de puntos (centinelas) a través de cada arista del GP (un centinela por cada sitio) con el objetivo de “garantizar” la arista. El número de centinelas necesarios para proteger una arista depende de su longitud y de su posición respecto a sus aristas vecinas, pues son situados al largo de las aristas para proteger, siempre a cierta distancia fijada por sus vecinas. Cada par de centinelas son situados sobre la circunferencia de algún círculo, cuyo centro yace en la arista y este no toca a ninguna otra arista. A continuación, se detalla el proceso formalmente.

Supongan que se tiene un grafo planar $G = (V, E)$ al que se le desea aplicar el algoritmo, este trabaja con dos fases fundamentales: primeramente se construyen círculos iniciales centrados en cada vértice de G , luego se procede a cubrir cada arista $e \in E$ por círculos interiores no solapados cuyo centros tienen origen en e .

Sea u un vértice de G , y λ la longitud de la menor arista G incidente en u . Denótese como $\xi_G(u)$ a ambos lados de cada arista incidentes en u , uno por cada lado de e (a una distancia adecuada ϵ).

Sea w el intercepción entre $\xi_G(u)$ y e , ahora p y q protegen al segmento \overline{uw} de e , lo que significa que \overline{uw} aparecerá en el DV que será construido, mientras no sean incluidos próximamente, nuevos puntos dentro de $\xi_G(u)$.

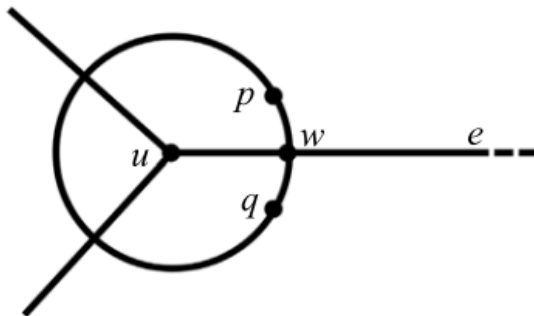


Figura 1 Círculo inicial para el vértice u . (Almaguer, y otros, 2007)

Sea $e = \overline{uw}$ una arista de G , y w_1, w_2 los puntos de intersección de $\xi_G(u)$ y $\xi_G(v)$ con e respectivamente. Los segmentos $\overline{uw_1}$ y $\overline{w_2v}$ están ahora garantizados, mientras que el segmento $\overline{w_1w_2}$ (quizás vacío) permanece desprotegido. Con el propósito de proteger $\overline{w_1w_2}$ es necesario cubrirlo con círculos (interiores) centrados en él,

mientras que estos no intercepten alguna arista distinta de e y no incluyan algún centinela perteneciente a otro círculo. Entonces podemos escoger pares de centinelas en cada círculo a una distancia ε de e .

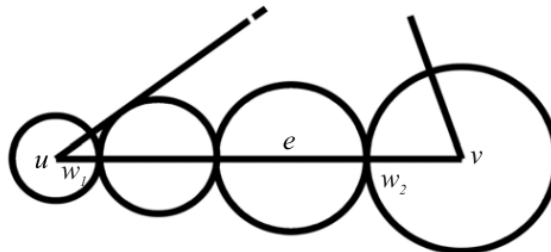


Figura 2 Arista $e = \overline{uv}$ cubierta por círculos. (Almaguer, y otros, 2007)

Como consecuencia del Lema 1 el segmento e queda protegido en toda su longitud, siempre que luego no se incluya algún punto dentro de cualquiera de los círculos centrados en e se acerquen a una distancia ε de otra arista f , pues los centinelas de f pueden caer, dentro de algún círculo perteneciente a e . Teniendo en cuenta lo anterior se puede garantizar que los centinelas de e no interfieran con las aristas, ya que estos no estarán incluidos en ningún otro círculo perteneciente a otra arista.

El algoritmo puede describirse de la siguiente manera:

Algoritmo 1. PIVG

Entrada: Teselación del plano definida por un grafo planar $G = (V, E)$

Salida: Conjunto de generadores de Voronoi S

1. $S = \Phi$.
 2. Para cada vértice $u \in G$
 Contruir el círculo $\xi_G(u)$ centrado en u .
 3. Escoger un valor adecuado para ε .
 4. Para cada vértice $u \in V$ y cada arista $e \in E$ incidente en u .
 Situar un par (p, q) de centinelas en $\xi_G(u)$, simétricos cada uno a e , a una distancia ε
 $S = S \cup \{p, q\}$
 5. Para cada arista $e \in E$
 Mientras existasn f desprotegidos en e
 Cubrir f mediante círculos interiores creados en e (se sitúan los centinelas correspondientes a cada círculo y se agregan a S)
 Situal un par (p, q) de
-

centinelas en $\xi_G(u)$, simétricos cada uno a e , a una distancia ε .
Devolver **S** y Terminar

Este algoritmo, en efecto, muestra una estrategia general que brinda una variada gama de posibilidades a la hora de ejecutar los pasos 3 y 5. Con el objetivo de probar que el algoritmo trabaja debemos demostrar que:

1. El algoritmo termina.
2. Una vez ejecutado toda arista de la teselación queda protegida.

Para mostrar que el algoritmo termina se deben dejar claros algunos aspectos. Sea p_0 el radio, el menor círculo inicial; es claro (por definición de círculo inicial) que $p_0 > 0$. Sea α el menor de los ángulos formados por las aristas incidentes de G , digamos e y f . Tomando a $\varepsilon \leq p_0 \text{sen}(\alpha/2)$ se puede estar seguros que dos pares de centinelas, pertenecientes, uno a e y otro a f , no se mezclarán, lo que quiere decir, que los pertenecientes a e no estarán a una distancia menor que ε de f , lo que garantiza que un centinela de una arista no interfiera en otra. Esto es válido para todos los círculos iniciales.

Una vez que los círculos iniciales han sido construidos y sus correspondientes conjuntos de centinelas encontrados, permanecen sin proteger, un segmento intermedio de cada arista. Dicho segmento debe ser cubierto por un número finito de círculos interiores.

Tómese una arista, dígase e , con un segmento intermedio sin cubrir de longitud δ , tomando círculos de radio ε para cubirlo podemos estar seguros que ninguno de ellos se interceptará con algún otro perteneciente a otra arista. Exactamente $\lceil \delta/2\varepsilon + 1 \rceil$ círculos serán suficientes para cubrir completamente el segmento desprotegido, donde quizás el último de estos tendrá radio $p_1 < \varepsilon$. Para este último los centinelas pueden ser situados a una distancia $\varepsilon < \varepsilon$ de e .

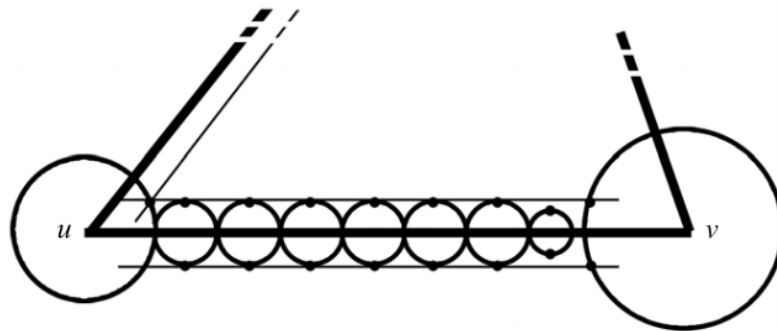


Figura 3 Arista cubiertas por círculos de radio ϵ . (Almaguer, y otros, 2007)

Usar círculos de radio ϵ es, entre las variantes a considerar la que produce mayor cantidad de círculos y como consecuencia, de centinelas (generadores del DV). Suponiendo que todos los círculos interiores tendrían un radio igual a la ϵ^- vecindad escogida, si δ es la longitud de e (mayor arista de $G = (V, E)$) y p_0 el radio de menor círculo inicial construido en G , S el conjunto de puntos (sitios) generados y F el conjunto de regiones de G , entonces e puede cubrirse con $\left\lceil \frac{\delta/2^{p_0}}{2\epsilon} \right\rceil + 1$ círculos no solapados de ϵ radio, generándose $2 \left(\left\lceil \frac{\delta/2^{p_0}}{2\epsilon} \right\rceil + 1 \right) + 4$ puntos si generalizamos este análisis entonces $|S| \leq |E| \left(2 \left(\left\lceil \frac{\delta/2^{p_0}}{2\epsilon} \right\rceil + 1 \right) + 4 \right)$ pero se puede encontrar una cota aún inferior si hacemos el análisis arista por arista: $|S| \leq 2 \sum_{e \in E} \left\lceil \frac{\delta_e - p_0 - p_1}{2\epsilon} \right\rceil + 6|E|$ donde δ_e es la longitud de e , p_0 y p_1 el radio de los círculos iniciales centrados en el vértice que define e . Se puede asegurar ahora que $|F| \leq |S| \leq 2 \sum_{e \in E} \left\lceil \frac{\delta_e - p_0 - p_1}{2\epsilon} \right\rceil + 6|E|$.

Tesalación inversa de Laguerre (Duan, y otros, 2014)

Una tesalación Laguerre, también llamado un diagrama de potencia o un diagrama de Laguerre, es una versión ponderada de la conocida tesalación de Voronoi. A continuación, se explican algunas de las notaciones matemáticas por las que este se rige y se describirá un algoritmo que permite obtener dicha tesalación. Para más detalles sobre las tesalaciones Laguerre ver (Okabe, y otros, 1999).

Sea $p \in \mathbb{R}^d$ y $w \in \mathbb{R}$ un valor fijo, llamado peso del punto p . Llamamos a la par (p, w) un punto ponderado. Para toda $x \in \mathbb{R}^d$, definimos el poder de x con respecto a (p, w) como $pow(x, (p, w)) = \|x - p\|^2 - w$.

Supongamos que $P = \{(p_1, w_1), (p_2, w_2), \dots, (p_n, w_n)\}$ son un conjunto de puntos finitos ponderados (generadores) en la Red. La teselación Laguerre P divide a \mathbb{R}^d en células, utilizando el poder de dichos punto. La celda asociada con el i -ésimo punto generador, C_i , se define por $C_i = \{X \in \mathbb{R}^d: pow(x, (p_i, w_i)) < pow(x, (p_j, w_j)), i \neq j\}$.

Tenga en cuenta que, si todos los pesos son iguales, la teselación Laguerre se reduce a la teselación de Voronoi estándar.

Observación 1. Las teselaciones Laguerre son un conjunto de puntos finitos localmente, pero un conjunto de puntos infinitos de generadores puede definirse de la misma manera.

cell i	cell j	edge $e_{i,j}$			
		$v_1(x)$	$v_1(y)$	$v_2(x)$	$v_2(y)$
1	4	126.14	138.02	140.86	156.07
1	11	98.75	150.55	126.14	138.02
1	14	93.26	164.39	98.75	150.55
2	6	100.97	84.85	107.45	89.69
2	10	107.45	89.69	112.99	113.46
2	11	112.99	113.45	83.46	126.78
\vdots	\vdots	\vdots	\vdots	\vdots	\vdots

Figura 4 (Duan, et al., 2014).

Cuando todos los pesos son positivos, cada punto generador ponderado $(p, w) \in P$ se puede interpretar y visualizar como una esfera (denotada por $S(p, r)$ con un radio $r = \sqrt{w} \geq 0$ con centro en el punto p . El poder un punto x con respecto a la esfera $S(p, r)$ está dado por $pow(x, S(p, r)) = \|x - p\|^2 - r^2$.

Geoméricamente, esto significa que para un punto x fuera de la esfera $S(p, r)$, el valor de $pow(x, S(p, r))$ es igual a la longitud al cuadrado de la línea tangente de x a $S(p, r)$. El límite entre dos células adyacentes generadas por las esferas $S_1 = S(p_1, r_1)$ y $S_2 = S(p_2, r_2)$, se compone de todos los puntos $z \in \mathbb{R}^d$ tal que $pow(z, S_1) = pow(z, S_2)$. Estos puntos forman un hiperplano $H(S_1, S_2)$, donde $H(S_1, S_2) = \{z \in \mathbb{R}^d: 2\langle z, p_1 - p_2 \rangle = \|p_1\|^2 - \|p_2\|^2 + r_2^2 - r_1^2\}$.

Este límite es perpendicular a la línea que une p_1 y p_2 y se denomina eje radical de S_1 y S_2 . En esta investigación, solo se van a considerar las teselaciones Laguerre en \mathbb{R}^2 . En este caso, los generadores pueden interpretarse como círculos.

Una teselación Laguerre se puede representar matemáticamente como un gráfico geométrico o una colección de vértices $V = \{v_1, v_2, \dots, v_m\}$ (también $V(P)$) y los bordes $\{(v_i, v_j)\}$, donde los vértices son asignados a posiciones en el espacio. Tenga en cuenta que algunas células no sólo están limitadas por segmentos, sino también por las rectas que se extienden hasta el infinito en una dirección determinada, porque se consideraron conjuntos finitos de generadores. Tales bordes se representan a menudo usando un vértice "ficticio". Es decir, un vértice del borde está dispuesto a ser un punto arbitrario en la recta que se extiende hasta el infinito, véase (Schoenberg, y otros, 2003). Los vértices interiores de la teselación tienen el mismo poder con respecto a por lo menos tres círculos separados. Por el contrario, los vértices 'ficticios' sólo tienen igual poder con respecto a dos círculos. El uso de la representación anterior, los vértices y los bordes de las teselaciones Laguerre se pueden almacenar en el formato dado en la Tabla 1. Las células se marcan de **1** a **n**. Las dos primeras columnas de la Figura 4 corresponden a las etiquetas de células adyacentes. Por ejemplo, la célula **1** es adyacente a las células **4**, **11**, y **14**. Las coordenadas de los vértices del borde que separa dos células se dan en las columnas **3** – **6**. Tenga en cuenta que una representación más compacta se puede lograr mediante el almacenamiento de las coordenadas de cada vértice, junto con los índices de los vértices adyacentes.

Se denomina teselación normal de Laguerre cuando las células adyacentes están cara a cara, es decir, (en 2D) que comparten bordes y vértices; Además, cada borde limita con exactamente dos células, y cada vértice es compartido por exactamente tres células. Un ejemplo de un teselado normal Laguerre 2D, generada por 15 círculos, se da en la Figura 5. Los límites entre las células son los bordes de la gráfica geométrica. Las competencias de los puntos en cada límite son iguales con respecto a los dos círculos vecinos. Observe que el grado de cada uno (interior) es el vértice 3. Los poderes de los vértices son, por tanto, igual con respecto a los tres círculos vecinos.

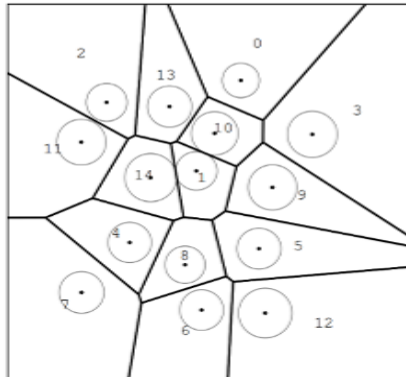


Figura 5. Teselación Laguerre para 15 círculos. (Duan, y otros, 2014)

A partir de ahora, consideramos solamente las teselaciones normales Laguerre 2D, por ejemplo, cuando los puntos del generador están al azar y uniformemente elegidos dentro de un área de muestreo limitada, la teselación es normal con probabilidad 1.

Propiedades

Una propiedad de la teselación Laguerre no contiene necesariamente su generador y un generador no necesariamente genera una célula.

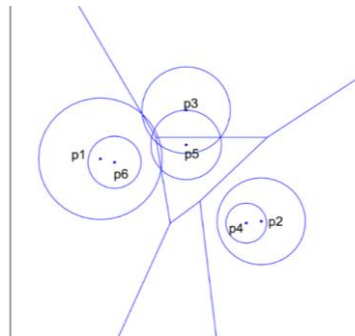


Figura 6. Teselación Laguerre para 6 círculos. (Duan, y otros, 2014)

Esta propiedad es bien conocida (véase, por ejemplo, (Aurenhammer, 1987)). Figura 6 (a partir de (Aurenhammer, 1987), (Lautensack, 2007)), muestra que el punto de una célula Laguerre generador puede estar fuera de su celda; en particular, p_4 se encuentra fuera de la célula **4**. La misma figura muestra un círculo generador, $S(p_6, r_6)$, para los que la célula Laguerre correspondiente está vacía. Una consecuencia de la propiedad 1 es que el generador dado para una teselación no es único. Es decir, se puede añadir círculos que no generan células adicionales, y el nuevo sistema dará como resultado la misma teselación Laguerre que el original. Sin embargo, incluso cuando cada círculo genera una célula, los generadores de una teselación Laguerre no son necesariamente únicos.

1. Dos conjuntos completamente diferentes de los círculos pueden generar la misma teselación Laguerre.

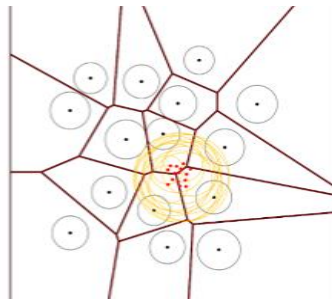


Figura 7. Teselación Laguerre generado por dos conjuntos diferentes de círculos. (Duan, y otros, 2014)

Un ejemplo extremo se muestra en Figura 7, donde tanto los círculos grises y círculos de color amarillo dan la misma teselación. La propiedad 2 se ha mencionado en la literatura (véase (Lautensack, 2007), (Aurenhammer, 1987)). Sin embargo, no es sorprendente que haya recibido poca atención. En particular, no se ha hecho hincapié en que dos conjuntos completamente diferentes (tanto en localización y radios) de círculos pueden generar la misma teselación.

Generación de una teselación Laguerre mediante puntos ponderados

Se comenzará describiendo cómo, por una teselación dada (normal), se pueden determinar un conjunto de puntos ponderados generadores especificando sólo las coordenadas y el peso de un punto generador ponderado además de una coordenada y del punto generador ponderado de una célula vecina.

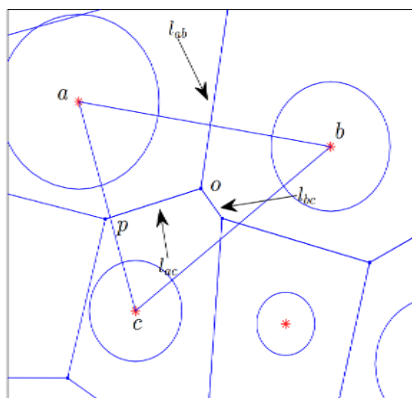


Figura 8. Dos generadores determinan el tercero. (Duan, y otros, 2014)

Teorema 1. Los puntos generadores ponderados de una teselación normal Laguerre 2D dados pueden ser completamente determinados desde el punto generador ponderado de una celda interior, y una coordenada del punto generador ponderado de una celda adyacente.

Prueba. Por razones de simplicidad se asume que los pesos de los puntos de generador son positivos, aunque la prueba no utiliza esta suposición. La ventaja es que los puntos de generador ponderados se pueden interpretar como círculos; Véase la Figura 4. Sea $S_1(p_1, r_1)$ el círculo generador de alguna celda interior, C_1 , y $S_2(p_2, r_2)$ el círculo generador de una celda adyacente a C_2 . Siendo las coordenadas de P_1 y P_2 , $(x_1; y_1)$ y $(x_2; y_2)$, respectivamente. Suponiendo que x_1, y_1, r_1 y x_2 se tiene como datos.

Siendo $e_{1,2}$ el borde de la teselación de separación C_1 y C_2 . Para las teselaciones Laguerre, el segmento de línea que une p_1 y p_2 es perpendicular a $e_{1,2}$. Tomando $m_{1,2}$ como la pendiente de $e_{1,2}$. De ello se desprende que y_2 es determinada por $\frac{y_2 - y_1}{x_2 - x_1} = -\frac{1}{m_{1,2}}$ (1). (Tenga en cuenta que es posible que $m_{1,2}$, esto no es relevante en aplicaciones prácticas. El problema puede ser resuelto, por ejemplo, mediante la rotación de la teselación. Por lo tanto, se supone la pendiente sea diferente de cero.) A partir de esto se puede determinar r_2 mediante $\|p_1 - q\|^2 - r_1^2 = \|p_2 - q\|^2 - r_2^2$ (2), para cualquier punto q en la línea que contiene el segmento $e_{1,2}$. En particular, podemos tomar $q = p_{1,2}$, la intersección de la línea a través p_1 y p_2 , y la línea que contiene el borde $e_{1,2}$.

Debido a que la teselación se supone que es normal y C_1 es una célula interior, hay una célula adyacente tanto a C_1 y C_2 , como a C_3 , la generación del círculo C_3 , $S_3 = (p_3, r_3)$, se determina de la siguiente manera. El punto $P_3 = (x_3, y_3)$ es la intersección de (1) la línea que pasa a través de p_1 y es perpendicular a $e_{1,2}$ (el borde entre C_1 y C_3) y (2) la línea que pasa a través de p_2 y es perpendicular a $e_{1,2}$ (el borde entre C_2 y C_3). De ello se desprende que las coordenadas x_3 y y_3 de p_3 satisfacen $\frac{y_3 - y_1}{x_3 - x_1} = -\frac{1}{m_{1,3}}$ and $\frac{y_3 - y_2}{x_3 - x_2} = -\frac{1}{m_{2,3}}$, (3) donde $m_{1,2}$ y $m_{2,3}$ son las pendientes de $e_{1,2}$ y $e_{2,3}$, respectivamente. Por lo tanto, $x_3 = \frac{m_{2,3}(m_{1,3}y_1 + x_1) - m_{1,3}(m_{2,3}y_2 + x_2)}{m_{2,3} - m_{1,3}}$; $y_3 = \frac{m_{1,3}y_1 + x_1 - (m_{2,3}y_2 + x_2)}{m_{1,3} - m_{2,3}}$ (4). El radio, r_3 , se determina entonces como en (2); es decir,

$\|p_1 - q\|^2 - r_1^2 = \|p_3 - q\|^2 - r_3^2$ (5), donde q es cualquier punto de la línea que contiene el borde $e_{1,3}$. También es posible determinar r_3 considerando el par C_2, C_3 en lugar de C_1, C_3 , dando $\|p_2 - q\|^2 - r_2^2 = \|p_3 - q\|^2 - r_3^2$ (6), donde q es cualquier punto de la línea que contiene el borde $e_{2,3}$. Para

probar que (5) y (6) dan el mismo valor para r_3^2 , es suficiente para demostrar que $r_1^2 - \|p_1 - u\|^2 = r_2^2 - \|p_2 - u\|^2$ (7), donde u es el vértice en la intersección de las líneas que contienen los bordes $e_{1,2}$ y $e_{2,3}$. Pero esto se desprende directamente de la definición de la teselación Laguerre, y el hecho de que u se encuentra también en la línea a través del borde $e_{1,2}$. Procediendo de esta manera, es posible determinar de forma iterativa el círculo generador de cada celda.

Observación 2. El teorema 3.1 se da en 2D, pero la idea de la prueba es aplicable para las dimensiones más altas. El uso de vectores normales de hiperplanos separados por células, por ejemplo, los bordes en 2D o caras planas en 3D, está claro que los generadores deben estar en líneas con la misma orientación. Ver también (Aurenhammer, 1987), donde se da una construcción no única para la ortogonal, dual de un teselado Laguerre (en el caso de Voronoi esto corresponde a la triangulación de Delaunay).

Observación 3. La demostración del Teorema 3.1 muestra que, si añadimos la misma constante a todos los radios al cuadrado, la teselación no cambia. A saber, si $\|p_i - q\|^2 - r_i^2 = \|p_j - q\|^2 - r_j^2$ para cada q en un borde que separa las células adyacentes C_i y C_j , se cumple de igual forma si r_i^2 y r_j^2 son sustituidos por $r_i^2 + c$ y $r_j^2 + c$. Como consecuencia de ello, siempre es posible encontrar un conjunto de generadores todos con pesos positivos. Si algunos pesos son negativos, simplemente encontrar el mínimo de éstos y restar este valor a todos los pesos.

El teorema 3.1 y la observación 3 sugieren el siguiente algoritmo para determinar los círculos generadores de un teselado Laguerre, dado x_1, y_1, r_1 y x_2 . Observamos que en el algoritmo puede empezar con un par de células (internas) (C_1, C_2) . Estas pueden ser reemplazadas por cualquier par de células internas durante el reetiquetado.

Algoritmo 1. Construcción de Generadores

Entrada: $x_1, y_1, r_1 (\geq 0)$, x_2 y los datos de la teselación como se encuentran en la Figura 4.

Salida: Un conjunto de generadores $P = \{(p_k, r_k^2)\}$ con radios mínimos no negativos.

- 1: Inicializar $P = \{(p_1, r_1^2), \dots, (p_n, r_n^2)\}$ para $NAN_{n \times 3}$.
 - 2: Calcular y_2 y r_2^2 mediante (1) y (2). Utilizar una bandera para indicar que C_1 y C_2 han sido asignados a los generadores.
 - 3: **while** no todas las células tengan generadores do
 - 4: **for** $k = 1:n$ do
-

```
5:   if ( $p_k, r_k^2$ ) no han sido asignados y más de dos células adyacentes han sido
      asignadas.
      then
6:     Elegir dos de las células adyacentes a  $C_k$  con los generadores
      asignados.
7:     Calcular  $p_k$  mediante la ecuación (3).
8:     Calcular  $r_k^2$  mediante la ecuación (2).
9:   end if
10:  end for
11: end while
12: if  $\min\{r_k^2\} < 0$  then
13:   set  $\{r_k^2\} = \{r_k^2\} - \min\{r_k^2\}$ 
14: end if
```

Algoritmo 1 proporciona un método para recuperar los círculos de generación de una teselación dado un pequeño número de entradas, es decir, x_1, y_1, r_1 y x_2 . Sin embargo, dependiendo de cómo se seleccionen estas entradas, se podrán obtener resultados muy diferentes. Aunque el algoritmo garantiza pesos positivos, en algunos casos los círculos de generación pueden estar lejos fuera de las células que generan. Un ejemplo se da en la Figura 7. En otros casos, los radios de círculo generador pueden ser mucho más grande que las células o incluso la ventana de observación; véase la Figura 9.

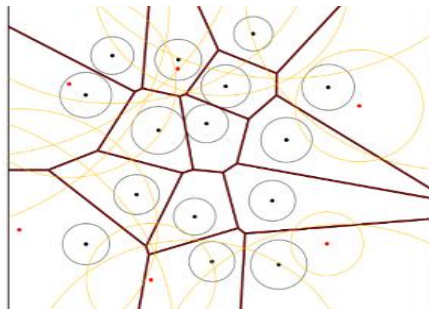


Figura 9. Otro ejemplo de una teselación Laguerre que se genera por dos conjuntos completamente diferentes de los círculos.

(Duan, y otros, 2014)

Como se ha indicado anteriormente, muchas aplicaciones basadas en teselaciones Laguerre atribuyen significado a los círculos de generación. Por esta razón, es importante que se tenga un método que elija una solución que satisfaga criterios como los enumerados anteriormente. Algunos de estos criterios son dependientes del modelo. Otros, sin embargo, son bastante universales. En particular, es casi siempre deseable tener puntos de generación que se encuentren dentro de las células que generan y es casi siempre deseable tener radios de valor real.

En (Duan, et al., 2014) se hace alusión a otro algoritmo utilizando una técnica estocástica de interpolación global denominada entropía cruzada (CE).

Conclusiones

Al realizar un estudio detallado de los conceptos fundamentales, algoritmos y las herramientas similares a esta investigación, se dio cumplimiento a los objetivos planteados con la conclusión de la biblioteca para realizar el particionado 2D y problema inverso (BP2DIN). De manera que esta cumpliera los requisitos funcionales establecidos para lograr las metas trazadas con la realización de un paquete de clases que muestra su funcionalidad con resultados satisfactorios.

Al ser el diseño del paquete de clases adaptable a los posibles cambios, posibilita que se puedan agregar nuevas funcionalidades en versiones posteriores sin hacer grandes modificaciones. Esto aumentaría la utilidad de la biblioteca con vistas a confeccionar un producto cada vez más completo y eficaz.

En esta primera versión de la BP2DIN el aporte principal ha sido el desarrollo de una biblioteca de clases y un manual de trabajo y uso de los algoritmos para el particionado del plano que brinda al desarrollador de aplicaciones informáticas, tales como SIG, software de diseño y compresión de imágenes, etc., una serie de facilidades para implementar el módulo de particionado del plano, específicamente, el cálculo de sitios, la generación de DV y la resolución de su PIV y PIVG respondiendo a las necesidades del usuario en menor tiempo. Además de mejorar, fácil y rápidamente, las aplicaciones que necesiten cálculos de proximidad, así como su robustez. Los programadores pueden concentrarse en los aspectos especializados de su aplicación eliminando la dependencia de especialistas en el tema de particionados del plano.

Referencias

- ALMAGUER, DANIEL TRINCHET Y ROSÉS, HEBERT PÉREZ. 2007. *Algoritmo para solucionar el problema inverso generalizado de Voronoi*. La Habana : Revista cubana de Ciencias Informáticas, 2007.
- DE BREG, MARK, Y OTROS. 2008. *Computational Geometrics: Algorithms and Applications*. Tercera. s.l. : Springer, 2008, 7.
- ALVAREZ, ELAINE MORALES. 2010. *Módulo de Gestión de Errores de la Plataforma de Televisión Informativa PRIMICIA*. Ciudad de la Habana : s.n., 2010.

- AURENHAMMER, F. 1987. Power diagrams: properties, algorithms and applications. *SIAM Journal on Computing*, 16, 78–96.
- DUAN, QIBIN, y otros. 2014. *Inverting Laguerre Tessellation*. Australia : The Computer Journal, 2014.
- GÓMEZ, JOSÉ RAMÓN. *Diagramas de Voronoi*. Matemática Aplicada, Universidad de Sevilla. Sevilla : s.n. págs. 8-12.
- OKABE, A, Y OTROS. 1999. *Spatial Tessellations: Concepts and Applications of Voronoi Diagrams*. Segunda. s.l. : John Wiley and Sons, 1999. págs. 6-12.
- LENGUAJES DE PROGRAMACIÓN. 2009. Lenguajes de programación. [En línea] 2009. [Citado el: 10 de enero de 2015.] HYPERLINK "<http://www.lenguajes-de-programacion.com/lenguajes-de-programacion.shtml>"
<http://www.lenguajes-de-programacion.com/lenguajes-de-programacion.shtml> .
- LOUDEN, KENNETH C. 2004. Lenguajes de programación: principios y prácticas. Mexico : s.n., 2004.
- LAUTENSACK, C. 2007. Random Laguerre Tessellations. PhD thesis Karlsruhe Institute of Technology.
- PROGRAMACIÓN EN CASTELLANO. 2011. Programación en castellano. Qt Creator, un completo entorno de desarrollo . [En línea] 2011. [Citado el: 10 de diciembre de 2015.]HYPERLINK
<http://www.programacion.com/noticia/qt-creator-un-completo-entorno-de-desarrollo-1723>
- NOKIA. 2012. QT. Sitio oficial de QT. [En línea] 2012. [Citado el: 24 de enero de 2012.]
<http://qt.nokia.com/products>.
- GARRIDO, SALVADOR ALEMANY. 2009. Introduccion a QT. Programacion grafica en C++ con Qt4. 2009.
- SCHOENBERG, F. P., FERGUSON, T., AND LI, C. 2003 Inverting Dirichlet tessellations. *The Computer Journal*, 46, 76–83.
- RODRÍGUEZ, RAÚL LUGO. 2011. Análisis, diseño e implementación del subsistema de Transmisión de la plataforma de televisión informativa PRIMICIA versión 2.0. La Habana, Cuba : s.n., 2011.
- IDE. 2012. Entornos de desarrollo integrado. Concepto de IDE. [En línea] 2012. [Citado el: 25 de enero de 2012.]
HYPERLINK
"<http://petra.euitio.uniovi.es/~i1667065/HD/documentos/Entornos%20de%20Desarrollo%20Integrado.pdf>"
<http://petra.euitio.uniovi.es/~i1667065/HD/documentos/Entornos%20de%20Desarrollo%20Integrado.pdf>
- SHAMOS, M. I. 1999. *The early years of Computational Geometry, a personal memoir*. s.l. : Contemporary Mathematics, 1999. págs. 313-332.